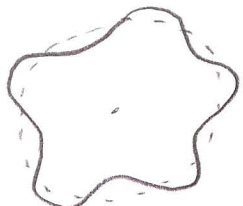


Schwingungs-Rotations-Wedderwirkung

Wie schon auf Seiten 27/28 motiviert sind die typischen Schwingungsperioden wesentlich länger als die typischen Rotationsperioden, d.h. ein typisches Molekül kann während einer Rotationsbewegung viele Schwingungen durchlaufen (10-100). D.h. dass sich der Kernabstand R während einer Rotation ändert.



Da der Drehimpuls $\vec{J} = I\vec{\omega}$ eines freien Moleküls zeitlich konstant ist, sich das Trägheitsmoment aber wegen $I=MR^2$ aufgrund der Schwingung periodisch ändert, schwankt die Rotationsfrequenz ω_{rot} im Takt der Schwingungsfrequenz ω_{vib} .

Darum schwankt auch die Rotationsenergie $E_{\text{rot}} = \frac{J(J+1)\hbar^2}{2MR^2}$ mit R .

Die Gesamtenergie $E = E_{\text{rot}} + E_{\text{vib}} + E_{\text{pot}}$ ist aber natürlich zeitlich konstant \Rightarrow ständiger Energieaustausch zwischen Rotation, Schwingung + pot. Energie.

Rotationsenergie eines Moleküls \equiv zeitlicher Mittelwert über viele Perioden

$$\langle E_{\text{rot}} \rangle = \frac{J(J+1)\hbar^2}{2M} \int q_{\text{vib}}^* \frac{1}{R^2} q_{\text{vib}} dR \quad (139)$$

\rightarrow Rotationskonstante B wird abhängig von Schwingungsquantenzahl:

$$B_v = \frac{t}{4\pi c N} \int_0^\infty q_{\text{vib}}^*(v, R) \frac{1}{R^2} q_{\text{vib}}(v, R) dR \quad (140)$$

$$\text{Für Morsepotential: } B_v = B_e - \alpha_e(v + \frac{1}{2}), \quad \alpha_e \ll B_e \quad (141)$$

Analog für die Zentrifugalauflösung:

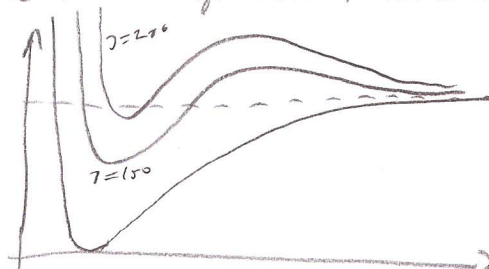
$$D_v = D_e - \beta_e(v + \frac{1}{2}) \quad \beta_e \ll D_e \quad (142)$$

Rotationsbarriere

$$E_{\text{pot}}^{\text{eff.}}(R) = E_{\text{pot}}^0(R) + \underbrace{\frac{J(J+1)\hbar^2}{2MR^2}}_{\substack{\text{Rotationslos} \\ \text{Potential}}} \quad \rightarrow \begin{array}{l} \text{führt zu Maximum bei Kernabstand} \\ R_{zB} = \frac{J(J+1)\hbar^2}{M \frac{dE^0}{dR}} \end{array} \quad (143)$$

$\xrightarrow{\text{Zentrifugalanteil}}$
 J abhängig

d.h. Minimum verschiebt sich vorwärts zu etwas größeren Kernabständen und die Dissociationsenergie wird kleiner, abh. von J .



Spektren zweiatomiger Moleküle

Optische Übergänge in Molekülen: Übergangsmatrixelement (Dipol)

$$M_{ik} = \int \psi_i^* \vec{P} \psi_k d\tau_{ee} d\tau_N \quad (144)$$

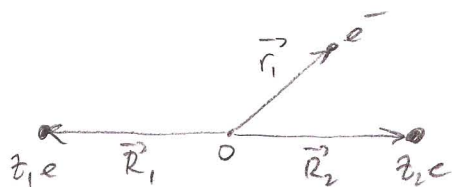
mit Dipoloperator $\vec{P} = -e \sum_i \vec{r}_i + e z_1 R_1 + e z_2 R_2$

$$= \vec{p}_{ee} + \vec{p}_N$$

Elektronen Kerne

$$(145)$$

homonukleares Molekül (= zwei gleiche Atome): $z_1 = z_2, R_1 = -R_2, \vec{p}_N = 0 \quad (146)$



Born-Oppenheimer: $\Psi(r, R) = \psi(r, R) \cdot \chi(R) \quad (147)$

Elektronen Kerne

$$\Rightarrow M_{ik} = \int \psi_i^* \chi_i^* (\vec{p}_{ee} + \vec{p}_N) \psi_k \chi_k d\tau_{ee} d\tau_N \quad (148)$$

$$= \underbrace{\int \chi_i^* \left\{ \int \psi_i^* \vec{p}_{ee} \psi_k d\tau_{ee} \right\} \chi_k d\tau_N}_{(A)} + \underbrace{\int \chi_i^* \vec{p}_N \left\{ \int \psi_i^* \psi_k d\tau_{ee} \right\} \chi_k d\tau_N}_{(B)} \quad (149)$$

Wir unterscheiden zwei Fälle

a) ψ_i und ψ_k gehören zu denselben elektronischen Zuständen: $\psi_i = \psi_k$
d.h. reines Schwingungs-Rotationsniveau Übergang

$$(A) = 0 \quad \text{weil } r |\psi_i|^2 \text{ ungerade, d.h. } \int dr r |\psi_i|^2 = 0$$

weil $\int |\psi_i|^2 d\tau_{ee} = 1$ in (B) folgt:

$$M_{ik} = \int \chi_i^* \vec{p}_N \chi_k d\tau_N \quad \text{für reine Rot-Vib Übergang} \quad (150)$$

b) Übergang zw. verschiedenen elektronischen Zuständen ψ_i und ψ_k , d.h. $\psi_i \neq \psi_k$
wegen $\int \psi_i^* \psi_k d\tau_{ee} = 0$ folgt

$$M_{ik} = \int \chi_i^* \left\{ \underbrace{\int \psi_i^* \vec{p}_{ee} \psi_k d\tau_{ee}}_{H_{ik}^{el}(R)} \right\} \chi_k d\tau_N \quad (151)$$

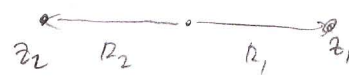
$$M_{ik} = \int \chi_i^* M_{ik}^{el}(R) \chi_k d\tau_N \quad \text{für elekt. Übergänge} \quad (152)$$

Schwingungs-Rotations Übergänge

Schwingungs-Rotationspektrum typischerweise $\nu_{\text{sum}} = \lambda$

Rotationspektren

Mikrowellen



$$M_{12} = e \int \chi_i^*(Z, R_1 + Z_2 R_2) \chi_k d\tau_N \quad (153)$$

für homonukleare Moleküle: $Z_1 = Z_2$, $M_1 = M_2$, $R_1 = -R_2$, $P_N = 0$

homonukleare Moleküle: keine Vib.-Rot. Übergänge innerhalb derselben elektronischen Zustände (in Dipolnäherung)

(154)

z.B. Luft: $N_2 + O_2$ können die Wärmeabstrahlung des Erdes nicht absorbiieren

CO_2, H_2O, NH_3 aber schon \rightarrow Erwärmung Wärmeabstrahlung
 \rightarrow Treibhauseffekt

$$\chi_N = \underbrace{s(R)}_{\substack{\text{Radialteil} \\ \text{Schwingungen}}} \cdot \underbrace{Y_J^M(\vartheta, \varphi)}_{\substack{\text{Winkelteil} \\ \text{Rotationen}}} \quad Y_J^M : \text{Drehimpuls } J, \text{ Projektion } M$$

Mit $R = |\vec{R}_1 - \vec{R}_2|$ und $R_1/R_2 = M_2/M_1$ gilt

$$\begin{aligned} \vec{p}_N &= |\vec{p}_N| \cdot \hat{p} = e \frac{M_2 Z_1 - M_1 Z_2}{M_1 + M_2} R \cdot \hat{p} \\ &= e C R \hat{p}_{\alpha} \quad \text{Einheitsvektor } \parallel \vec{p}_N \end{aligned} \quad (155)$$

mit $d\tau_N = R^2 dR \sin \vartheta d\vartheta d\varphi$ folgt

$$M_{12} = e C \underbrace{\int s_{v_1}(R) s_{v_2}(R) R^3 dR}_{\substack{\text{Komm. Osz: } \Delta v = v_1 - v_2 = 0, \pm 1 \\ \text{Plötzl Pol.: auch } \Delta v = 1, 3, 4 \text{ oder} \\ \text{unterstört mit } \omega_2}} \underbrace{\int Y_{J_1}^{M_1} Y_{J_2}^{M_2} \hat{p} \sin \vartheta d\vartheta d\varphi}_{\substack{\Delta J = J_1 - J_2 = \pm 1 \\ (\text{denn absorb./emitt. Haken} \\ \text{hat Drehimpuls 1})}} \quad (156)$$

Komm. Osz: $\Delta v = v_1 - v_2 = 0, \pm 1$

Plötzl Pol.: auch $\Delta v = 1, 3, 4$ oder
 unterstört mit ω_2

$\Delta J = J_1 - J_2 = \pm 1$

(denn absorb./emitt. Haken
 hat Drehimpuls 1)

$\Delta J = +1$: R-Linien

$\Delta J = -1$: P-Linien